

1- Scopul exp. M-M

2- Disp. exp. Interferometrul M-M

3- Determinarea timpilor de deplasare EV și SN,

a semnalelor luminoase din S-fix foto. de S'-mobil, Pământul,  $v \approx 30 \frac{\text{km}}{\text{s}}$

4- Determinarea  $\eta$ -m. de frunze de interferență a luminii în interf. M-M

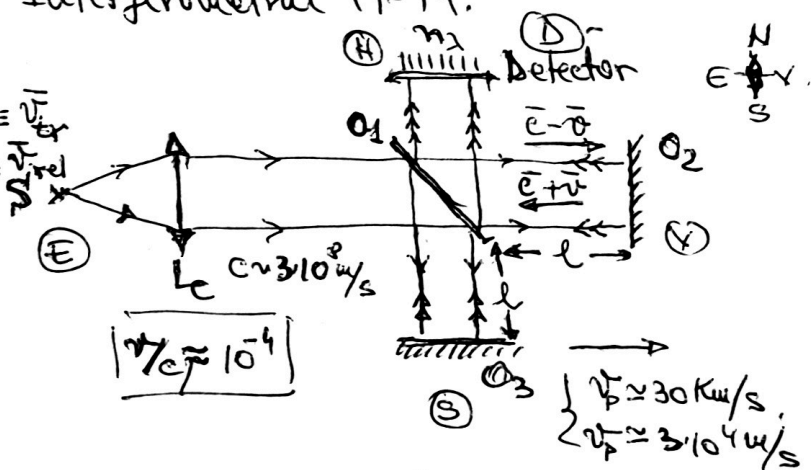
5- Concluzii

1- Scopul exp. M-M. Își propun să verifice dacă, Regula de compunere a vitezelor este valabilă și în cazul vitezelor mari,  $v \sim 3 \cdot 10^8 \frac{\text{m}}{\text{s}}$

2- Disp. exp. utilizat - este Interferometrul M-M.

Alcatuire / schița

- Pământul vehicul,  $v_p \sim 3 \cdot 10^4 \text{ m/s} \equiv \vec{v}_{\text{ter}}$
- Sursa de lumină,  $c \sim 3 \cdot 10^8 \text{ m/s} \equiv \vec{c}_{\text{rel}}$
- $\left\{ \begin{array}{l} O_1 - \text{ogl. semitransparentă / divizion (50\%)} \\ O_2, O_3 - \text{oglinzi totale (100\%)} \end{array} \right.$
- $\left\{ \begin{array}{l} \text{Splitter} \\ \text{Detector} \end{array} \right.$



Descrierea fenomenului/exp

- Lumină emisă de sursa S se propagă cu  $c \sim 3 \cdot 10^8 \text{ m/s}$ , cade pe  $O_1$  și se divide în două fascicule  $\left\{ \begin{array}{l} O_1 \rightarrow O_2 \rightarrow O_1 \rightarrow D \text{ (EV)} \\ O_1 \rightarrow O_3 \rightarrow O_1 \rightarrow D \text{ (SN)} \end{array} \right.$  care ajung la detectorul D unde interferă prin suprapunere.

3- Determinarea timpilor de deplasare EV și SN.

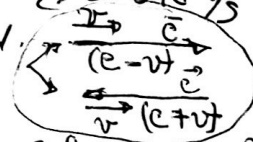
Re. de compunere a vitezelor în cele 2 SRI

cazul (A)  $(O_1, O_2, O_1)$

$$|v_{\text{abs}} = v_{\text{rel}} + v_{\text{ter}}|$$

$$\left\{ \begin{array}{l} O_1 \rightarrow O_2 \quad c' = (c - v) \\ O_2 \rightarrow O_1 \quad c' = (c + v) \end{array} \right\} \text{EV}$$

S-fix și S'-mobil.

$$\left\{ \begin{array}{l} c \sim 3 \cdot 10^8 \text{ m/s} \\ v \sim 3 \cdot 10^4 \text{ m/s} = 30 \frac{\text{km}}{\text{h}} \end{array} \right.$$


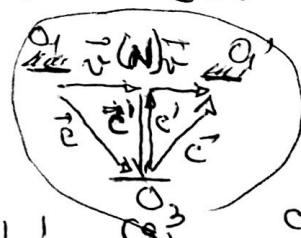
$$t_1 = \left( \frac{l}{c-v} + \frac{l}{c+v} \right) = \frac{l(c+v) + l(c-v)}{(c-v)(c+v)} = \frac{2lc}{c^2 - v^2} = \frac{2le}{c^2(1 - v^2/c^2)} = \frac{2le}{c^2} \frac{1}{1 - v^2/c^2}$$

În cazul propagării pe dir.  $\perp$  (SN  $\perp$  EV)

SN:  $O_1, O_3, O_1$

$$\left\{ \begin{array}{l} O_1, O_3, c' = \sqrt{c^2 - v^2} \\ O_3, O_1, c' = \sqrt{c^2 - v^2} \end{array} \right.$$

$$t_2 = \frac{l}{\sqrt{c^2 - v^2}} + \frac{l}{\sqrt{c^2 - v^2}} = \frac{2l}{\sqrt{c^2 - v^2}} = \frac{2le}{c} \frac{1}{\sqrt{1 - v^2/c^2}}$$



Formule de aproximare când  $x = \frac{v^2}{c^2} \ll 1 \sim 10^{-8}$

atunci

$$t_1 = \frac{2le}{c^2} \frac{1}{1 - v^2/c^2} \approx \frac{2le}{c^2} (1 + \frac{v^2}{c^2}); \quad t_2 = \frac{2le}{c} \frac{1}{\sqrt{1 - v^2/c^2}} \approx \frac{2le}{c} (1 + \frac{1}{2} \frac{v^2}{c^2})$$

$$\left\{ \begin{array}{l} \frac{1}{(1 \pm x)} \approx (1 \mp x) \\ \frac{1}{\sqrt{1 \pm x}} \approx (1 \mp \frac{1}{2} x) \end{array} \right.$$

Obs timpul de întârziere la căderea pe detectorul (D) a celor două semnale luminoase decalate cu  $\Delta t = (t_1 - t_2) v_0$

$$\Delta t_{(EV)} = (t_1 - t_2) = \frac{2l}{c} \left( 1 + \frac{v^2}{c^2} - 1 - \frac{1}{2} \frac{v^2}{c^2} \right) = \frac{2l}{c} \frac{v^2}{2c^2} = l \left( \frac{v^2}{c^3} \right)$$

\* La rotirea axei interferometrului pe direcție (SH) (EV) calculul (90°) se va face în mod similar și obținem același rezultat fiind l-lungimile celor două brațe (EV)  $O_1 O_2$  și (SH)  $O_1 O_3$  sunt egale întârzierea și în această situație va fi aceeași astfel încât deplasarea temporala totală între cele 2-situații (EV + SH) va fi dublă.

$$\Delta t_{\text{tot}} = \Delta t_{(EV)} + \Delta t_{(SH)} = l \frac{v^2}{c^3} + l \frac{v^2}{c^3} = \left( \frac{2l}{c} \right) \left( \frac{v^2}{c^2} \right)$$

— Comparăm această întârziere / decalaj total  $\Delta t_{\text{tot}}$  cu T-perioada din relația  $\begin{cases} \lambda = c \cdot T \\ x = v \cdot t \end{cases} \rightarrow T = \left( \frac{\lambda}{c} \right)$

— Pt. a determina  $(n_f)$  — nr de interferențe cu care s-ar modifica fig. de interferență observată pe D-detector

$$\text{atunci } n_f = \left( \frac{\Delta t_{\text{tot}}}{T} \right) = \frac{2l}{c} \frac{v^2}{c^2} \cdot \left( \frac{1}{T} \right) = \frac{2lv^2}{c^2} \cdot \left( \frac{c}{\lambda} \right) = \left( \frac{2l}{\lambda} \right) \left( \frac{v^2}{c^2} \right)$$

deci  $l \approx 11 \text{ m}$ . calculând:

$$\begin{cases} \lambda \approx 590 \text{ nm} \\ c \sim 3 \cdot 10^8 \text{ m/s} \\ n_f \sim 3 \cdot 10^4 \text{ m/s} \end{cases} \Rightarrow \begin{cases} n_f \approx 0,37 \text{ frunze} \rightarrow \text{teoretic} \\ \Delta n_f \approx 0,10 \text{ frunze} \rightarrow \text{precizia interferometrului} \end{cases}$$

4) Exp. nu se observă nicio decalare a frunzelor

Concluzie: - exp. Michelson-Morley.

Deși regula clasică (Galileană) de compunere a vitezelor nu este valabilă la viteze mari (cazul luminii  $c \sim 3 \cdot 10^8 \text{ m/s}$ )

Temă: Vitezi și efectuată exp. Michelson-Morley din lucrul de la pag. 11 (par. cl. 12-a)

[http://galileoand.einstein.physics.virginia.edu/more\\_stuff/flashlets/mmexp6.html](http://galileoand.einstein.physics.virginia.edu/more_stuff/flashlets/mmexp6.html)

